

بررسی اثر سرعت سرد شدن و میزان مس بر تشکیل یوتکنیک غیر تعادلی در آلیاژهای دوتایی آلومینیوم-مس به کمک آنالیز حرارتی منحنی های سرد شدن

مهدی دهنوی^{*}، محسن حداد سبزوار*

۱- کارشناسی ارشد، گروه مهندسی متالورژی و مواد، دانشگاه فردوسی مشهد، مشهد، ایران

۲- استاد، گروه مهندسی متالورژی و مواد، دانشگاه فردوسی مشهد، مشهد، ایران

*mehdi_6664@yahoo.com

(تاریخ دریافت: ۱۳۹۳/۰۹/۲۹، تاریخ پذیرش: ۱۵/۱۰/۱۳۹۳)

چکیده

در این پژوهش تاثیر سرعت سرد شدن و میزان مس بر مقدار گرمای نهان آزاد شده در طی استحاله یوتکنیک غیر تعادلی در آلیاژهای دوتایی آلومینیوم - مس به کمک آنالیز حرارتی منحنی های سرد شدن مورد بررسی قرار گرفته است. بدین منظور آلیاژهای دوتایی آلومینیوم- مس با ترکیب $2/2\text{ wt.\%}$ و $3/7\text{ wt.\%}$ مس در یک کوره الکتریکی ذوب و در شرایط کنترل شده ای با سرعت $0/04\text{ sec}^{-1}$ و 42°C سرد شدند. نتایج نشان می دهد که مقدار گرمای نهان آزاد شده در طی استحاله یوتکنیک غیر تعادلی، به دو عامل سرعت سرد شدن و ترکیب آلیاژ وابسته است. با افزایش مقدار مس و افزایش سرعت سرد شدن، مقدار یوتکنیک غیر تعادلی نیز افزایش می یابد که با آزاد سازی گرمای نهان بیشتری همراه می باشد که این تغییرات باعث ایجاد انحراف دوم در منحنی سرد شدن می شود. این انحراف در منحنی مشتق اول- زمان به صورت یک پیک کاملاً تیز، قابل تشخیص می باشد.

واژه های کلیدی:

سرعت سرد شدن، گرمای نهان انجامداد، منحنی سرد شدن، یوتکنیک غیر تعادلی، منحنی مشتق اول- زمان.

۱- مقدمه

تحقیقات نشان داد که انجامداد آلیاژهای آلومینیوم- مس با رسوب ذرات α_{Al} از فلز مذاب شروع شده و با رشد و ضخیم شدن دندربیت های اولیه ادامه می یابد. در ادامه با کاهش بیشتر دما و رسیدن به دمای یوتکنیک فازهای α_{Al} و ترکیب بین فلزی Al_2Cu ، یوتکنیک $\alpha_{\text{Al}}+\text{Al}_2\text{Cu}$ تشکیل می شود [۴-۵]. آنالیز حرارتی بر مبنای توزیع سطوح حرارتی در سرد شدن یا گرم

ریز ساختارهای آلیاژهای آلومینیوم- مس به طور عمده توسط دو عامل ترکیب شیمیایی و سرعت سرد شدن قابل کنترل می باشد. سرعت سرد شدن از مهم ترین عامل های کنترل کننده ساختار قطعات ریختگی است. مورفولوژی فازهای موجود، اندازه دانه، فاصله بازو های دندربیتی و ساختار یوتکنیک بیشترین تاثیر پذیری از این عامل را دارند [۲-۱]. بکرود [۳] در طی

شدن می‌توان از رسم مشتق دوم منحنی سرد شدن نیز استفاده کرد [۱۴]. هدف از این پژوهش بررسی اثر سرعت سرد شدن و میزان مس بر تشکیل یوتکتیک غیر تعادلی به کمک آنالیز حرارتی منحنی‌های سرد شدن می‌باشد. مقدار یوتکتیک غیر تعادلی در ریز ساختار نهایی آلیاژهای دوتایی آلمینیوم-مس به سرعت سرد شدن و ترکیب شیمیایی آلیاژ (میزان مس اولیه در ترکیب) بستگی دارد. در اکثر پژوهش‌ها معمولاً برای بررسی رفتار انجمادی آلیاژها از رسم منحنی‌های سرد شدن استفاده می‌شود اما تمامی استحاله‌های متالورژیکی رخ داده در طی انجماد، به کمک رسم منحنی‌های سرد شدن قابل تشخیص و بررسی نیست و رسم منحنی مشتق اول و مراتب بالاتر ضرری به نظر می‌رسد.

۲- روش تحقیق

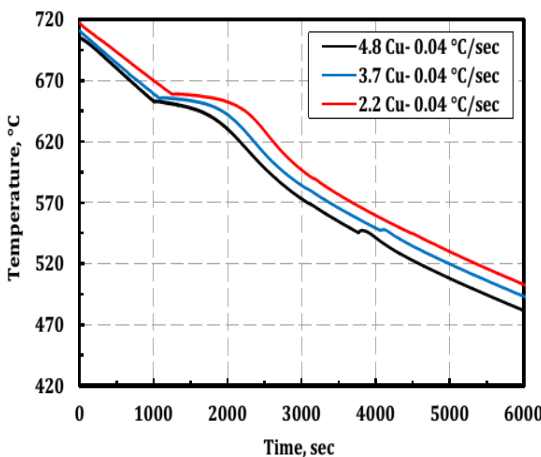
ماده اولیه استفاده شده در این تحقیق شامل آلیاژهای دوتایی آلمینیوم-مس است که ترکیب شیمیایی آن‌ها در جدول (۱) نشان داده شده است.

جدول (۱): ترکیب شیمیایی آلیاژهای آلمینیوم-مس استفاده شده

غلظت عناصر آلیاژی (wt.%)			
Al	Fe	Si	Cu
مابچی	۰/۰۸	۰/۰۵	۲/۲
مابچی	۰/۰۶	۰/۰۴	۳/۷
مابچی	۰/۰۶	۰/۰۵	۴/۸

برای انجام آزمایش‌های مورد نظر، نمونه‌هایی استوانه‌ای با ابعاد $22 \times 20 \text{ mm}$ و جرم 10 g (hxd) تهیه گردیدند. نمونه‌ها در یک کوره الکتریکی ذوب شده و با سرعت‌های $۰/۰۴$ ، $۰/۰۶$ و سرد شدن. در حین انجماد به منظور جلوگیری از اکسید شدن نمونه‌ها، از گاز محافظ آرگون با خلوص بالا ($99/999\%$) استفاده گردید. دمای نمونه‌ها در حین انجام آزمایش با استفاده از ترموکوپیل نوع K با قطر 15 mm و اندازه‌گیری شد. برای این منظور در مرکز نمونه حفره‌ای به قطر 4 mm و به عمق نصف

شدن قطعات که مستقیماً به دگرگونی‌های فازی که در نمونه اتفاق می‌افتد مربوط می‌شود. بسته به نوع آنالیز، اطلاعات متفاوتی نظیر گرمای نهان انجماد، کسر حجمی جامد، میزان ریزدانگی و مقدار و نوع فازهایی که در حین انجماد به وجود می‌آیند را می‌توان به دست آورد [۸-۶]. اگر چه از روش‌های استاندارد مانند (DSC) برای مطالعه رفتار انجمادی آلیاژها نیز می‌توان استفاده کرد ولی در سال‌های اخیر CA (CCA)^۱ که روشی ساده و کم هزینه است برای تعیین خواص ترموفیزیکی آلیاژها کاربرد زیادی پیدا کرده است [۱۰-۸]. در طی آنالیز حرارتی منحنی‌های سرد شدن، با قرار دادن ترموکوپیل درون قالبی که نمونه در آن قرار دارد دمای نمونه در هر لحظه در طی انجماد توسط یک سیستم داده گیر جمع آوری می‌شود و در یک کامپیوتر ذخیره می‌شود. با رسم منحنی دما-زمان می‌توان استحاله‌های رخ داده در طی فرآیند انجماد را بررسی کرد. تغییرات دمایی رخ داده در منحنی‌های سرد شدن نشان دهنده استحاله‌های فازی رخ داده در طی انجماد آلیاژ می‌باشد که با آزاد شدن گرمای نهان انجماد باعث ایجاد انحرافاتی در منحنی سرد شدن می‌شوند [۱۱-۱۳]. ممکن است که رخ دادن برخی از استحاله‌های فازی با آزاد سازی گرمای نهان کمی همراه باشد که تشخیص آنها از منحنی‌های سرد شدن امر دشواری خواهد بود. لذا منحنی‌های سرد شدن نمی‌تواند به خوبی نشان دهنده تمامی استحاله‌های رخ داده در طی انجماد باشد [۱۴]. بکرود و چالمرز [۷]، یک روش جدید برای تشخیص استحاله‌های رخ داده در طی انجماد آلیاژها به کمک رسم منحنی مشتق بر حسب زمان ارائه دادند. مشتق منحنی سرد شدن در هر لحظه عبارت است از شب خط ماس بر آن نقطه از منحنی و بنابراین نشان دهنده سرعت سرد شدن لحظه‌ای نمونه در حال انجماد می‌باشد. با رسم منحنی مشتق، استحاله‌های رخ داده در طی انجماد به صورت پیکهایی مشخص می‌شوند. مشتق‌های درجه بالاتر از منحنی سرد شدن نیز قابل ترسیم هستند. به منظور رسیدن به پارامترهای دقیق تر آنالیز حرارتی منحنی سرد



شکل(۱): مقایسه منحنی های سرد شدن آلیاژهای مورد بررسی در سرعت های متفاوت سرد شدن

با توجه به نحوه انجماد در آلیاژهای $\frac{3}{7}$ و $\frac{4}{8}$ wt.%، در منحنی های سرد شدن آن ها دو انحراف مشاهده می شود که نشان دهنده استحاله های فازی رخ داده در حین انجماد می باشد. اولین انحراف مربوط به تشکیل دندانهای اولیه α_{Al} است که با رشد و پختگی شدن آن ها ادامه می یابد و در ادامه دومن انحراف مربوط به استحاله یوتکنیک غیر تعادلی $\alpha_{\text{Al}} + \text{Al}_2\text{Cu}$ می باشد که در مراحل پایانی انجماد رخ می دهد. با توجه به نتایج آنالیز حرارتی می توان گفت که ریز ساختار نهایی در این دو آلیاژ شامل زمینه دندانهای α_{Al} و یوتکنیک غیر تعادلی $\alpha_{\text{Al}} + \text{Al}_2\text{Cu}$ می باشد. اما در این شکل و برای آلیاژ $\frac{2}{2}$ wt.% مشاهده می شود که در منحنی سرد شدن این آلیاژ انحراف دوم مشاهده نمی شود. این موضوع در شکل (۱) و در محدوده مربوط به تشکیل یوتکنیک غیر تعادلی (انحراف دوم) بهتر قابل مشاهده است. با مقایسه این قسمت از منحنی ها به نظر می رسد که انجماد آلیاژ $\frac{2}{2}$ wt.% به صورت تک فاز به پایان رسیده است و یوتکنیک غیر تعادلی در این آلیاژ تشکیل نشده است. شکل (۲) ریز ساختار کلیه نمونه ها را نشان می دهد. با توجه به شکل همان گونه که نتایج آنالیز حرارتی هم نشان داد ریز ساختار نهایی آلیاژ شامل دندانهای اولیه فاز α_{Al} و یوتکنیک غیر تعادلی ($\alpha_{\text{Al}} + \text{Al}_2\text{Cu}$) است. این ریز ساختار در تمام نمونه ها مشاهده می شود با این تفاوت که تغییر سرعت سرد شدن باعث

ارتفاع نمونه ایجاد شد و ترموموکوپل که درون غلافی از جنس کوآرتز (قطر داخلی ۲ mm و ضخامت ۱ mm) قرار داده شده بود درون این حفره قرار گرفت. تغییرات دمای نمونه با گذشت زمان به وسیله یک سیستم داده گیر Advantech 4718 با قابلیت ثبت حداقل ۱۰ داده در ثانیه ثبت گردید. برای محاسبه سرعت سرد شدن (متوسط)، دامنه انجماد $(T_L - T_S)$ بر کل زمان انجماد تقسیم شد [۱۵]. به منظور دستیابی به سرعت های سرد شدن متفاوت دو آزمایش به شرح ذیل طراحی و اجرا شد: در آزمایش اول پس از ذوب نمونه (دمای اولیه کوره 720°C) و نگهداری آن در دمای حدود 710°C به مدت ۱۰ min، کوره خاموش شده و نمونه تا دمای محیط درون کوره سرد گردید (سرعت سرد شدن 0.04°C/sec). در آزمایش دوم، پس از ذوب نمونه با شرایط مشابه، قسمت حرارتی از روی نمونه منتقل شد و نمونه خارج از محیط حرارتی کوره تا دمای محیط سرد شد (سرعت سرد شدن 0.04°C/sec). به منظور بررسی ریزساختار، نمونه ها از ناحیه نزدیک به نوک ترموموکوپ شدن و پس از سمباده زنی و پولیش با استفاده از میکروسکوپ الکترونی روبشی مدل LEO 1450VP مجهز به سیستم آنالیز تفکیک انرژی (EDS) بررسی شدند. در صد فاز یوتکنیک با استفاده از تصاویر SEM در حالت الکترون های برگشتی $^{[3]}$ از روی سطح از- پولیش اندازه گیری گردید. کلیه اندازه گیری های کمی به وسیله نرم افزار Clemex Vision انجام گرفت. لازم به ذکر است در این پژوهش سرعت سرد شدن به صورت میانگین گزارش گردیده و منحنی های سرد شدن و مشتق اول همگی در محیط Excel محاسبه و رسم شده است.

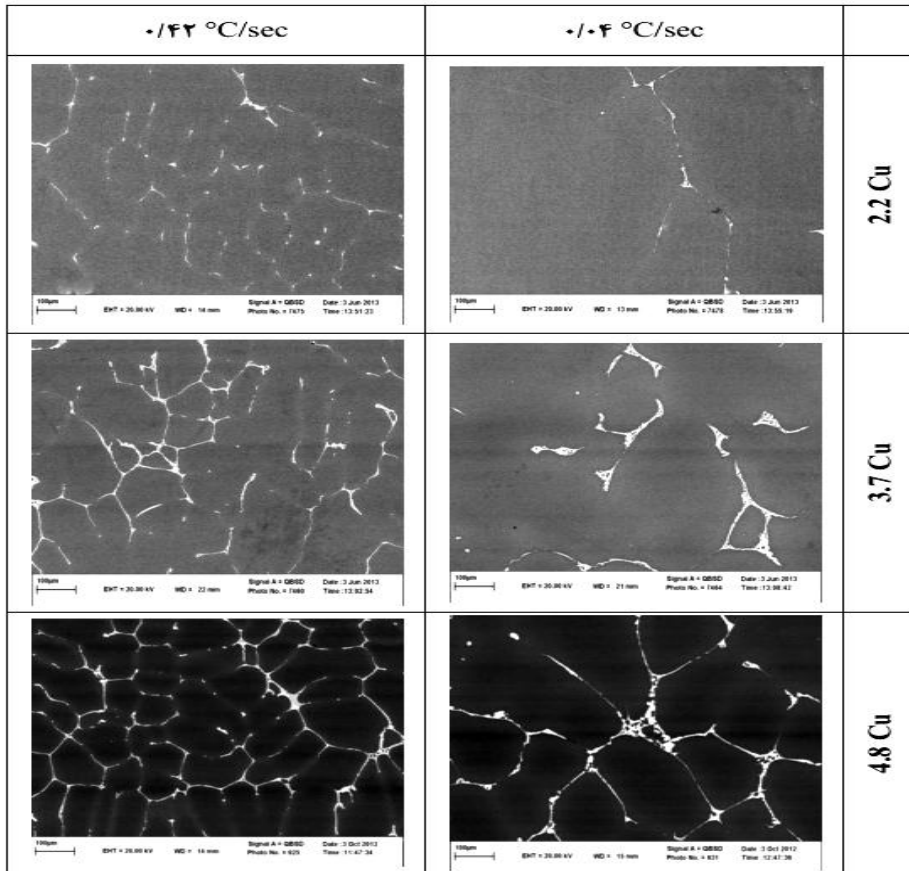
۳- نتایج و بحث

۳-۱- منحنی های سرد شدن

شکل (۱) منحنی های سرد شدن تمامی نمونه ها در سرعت سرد شدن 0.04°C/sec را نشان می دهد.

سرعت سرد شدن، اندازه دانه و فاصله بازوهای دندربیتی کاهش می‌یابد. این اثر مخصوصاً برای اندازه دانه چشم‌گیرتر است.

تغییر چشم‌گیری در مشخصه‌های ریز ساختاری آلیاز مانند اندازه دانه، فاصله بازوهای دندربیتی و مقدار یوتکنیک غیر تعادلی نمونه‌ها می‌گردد. بر اساس نتایج مشخص است که با افزایش

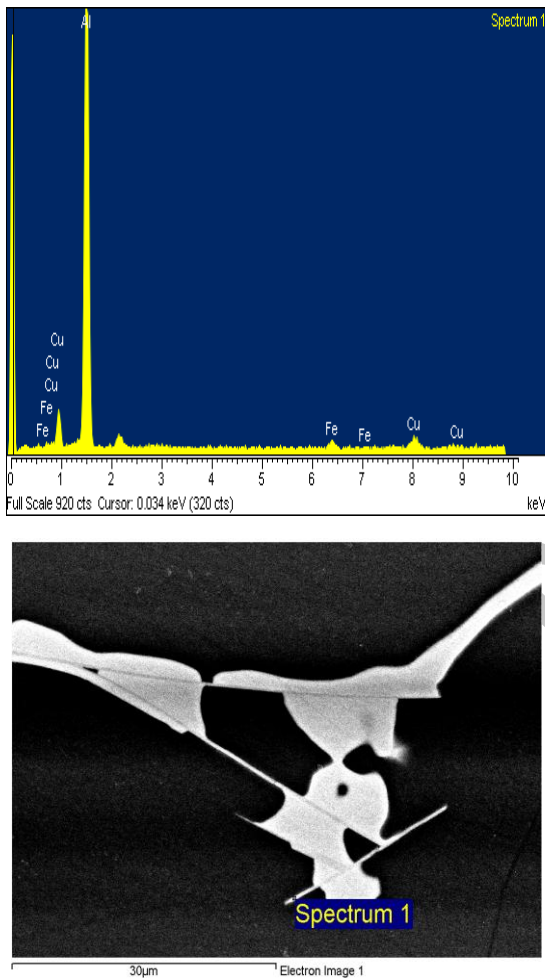


شکل (۲): تصویرهای تهیه شده توسط SEM با استفاده از الکترونهای برگشتی (BSE) از ریزساختار نمونه‌ها

است که با مذاب باقی مانده در مراحل پایانی انجماد یوتکنیک غیر تعادلی را تشکیل می‌دهد. به منظور بررسی بهتر استحالت های فازی رخ داده در حین انجماد به کمک آنالیز حرارتی منحنی های سرد شدن، از رسم منحنی های مشتق اول بر حسب زمان برای تمامی آلیازها در هر دو سرعت سرد شدن استفاده گردید. به طوری که در بخش مقدمه ذکر شد منحنی مشتق اول در واقع تغییرات لحظه‌ای سرعت سرد شدن آلیاز را نشان می‌دهد که نسبت به استحالت های فازی رخ داده در طی انجماد در مقایسه با منحنی سرد شدن اصلی حساسیت بیشتری دارد. شکل های (۳) و (۴) منحنی سرد شدن به همراه منحنی مشتق اول آلیاز های ۳/۷

به نظر می‌رسد که اثر سرعت سرد کردن بر مشخصه های ریز ساختاری بسیار بیشتر از اثر ترکیب شیمیایی است. البته در تمام نمونه‌ها با افزایش مقدار مس در آلیاز نیز یک کاهش در فاصله بازوهای دندربیتی مشاهده می‌شود اما در اکثر موارد قابل اغماض است. به طوری که تصاویر میکروسکوپ الکترونی در شکل (۲) نشان می‌دهد، برای تمامی آلیازها در هر دو سرعت سرد شدن یوتکنیک غیر تعادلی در حین انجماد تشکیل شده است در حالی که منحنی سرد شدن برای آلیاز ۲/۲ wt.% در سرعت سرد شدن ۰/۱۰۴ °C/sec این مطلب را نشان نمی‌دهد. در این تصاویر مناطق تیره، فاز دندربیتی زمینه و مناطق روشن فاز ثانویه غیر تعادلی

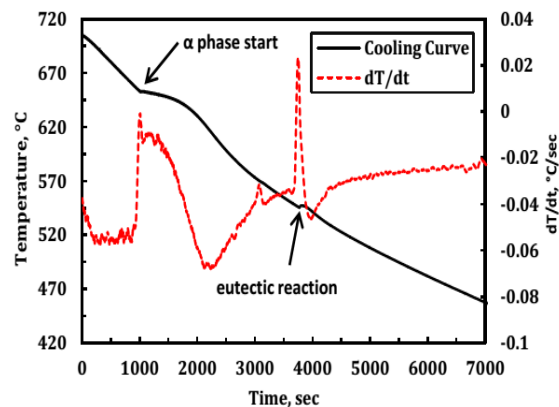
بین فلزی سوزنی شکل غنی از آهن است که در منحنی سرد شدن دیده نشد. این ترکیبات به علت عدم حلایت در مذاب در مراحل پایانی انجماد و معمولاً بر روی ترکیب یوتکتیک رسب می‌کنند [۱۶]. شکل (۵) آنالیز EDS از تیغه‌های سوزنی شکل در آلیاژ ۳/۷ wt.% را نشان می‌دهد.



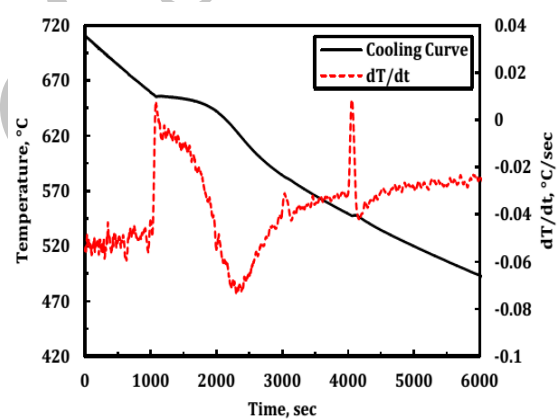
شکل (۵): نتایج آنالیز EDS از فازهای غنی از آهن

شکل (۶) منحنی سرد شدن آلیاژ ۲/۲ wt.% به همراه منحنی مشتق آن را در سرعت سرد شدن 0.04°C/sec نشان می‌دهد. قبل بررسی شد که منحنی سرد شدن به خوبی نشان دهنده رفوار انجمادی این آلیاژ نیست و رسم منحنی مشتق- زمان ضروری به نظر می‌رسد. همان طور که منحنی مشتق- زمان نشان می‌دهد،

و $4/8$ wt.% در سرعت سرد شدن 0.04°C/sec را نشان می‌دهد.



شکل (۳): منحنی سرد شدن به همراه منحنی مشتق اول آلیاژ $4/8$ wt.% در سرعت سرد شدن 0.04°C/sec



شکل (۴): منحنی سرد شدن به همراه منحنی مشتق اول آلیاژ $3/7$ wt.% در سرعت سرد شدن 0.04°C/sec

به طوری که قبلاً بررسی گردید استحاله‌های فازی که در منحنی سرد شدن به صورت انحرافهایی دیده شد، در منحنی مشتق اول- زمان به صورت پیک‌های کاملاً مشخصی مشاهده می‌شوند. با توجه به منحنی‌های مشتق، سه پیک کاملاً مشخص در آن‌ها قابل مشاهده است که نشان دهنده سه استحاله فازی رخ داده در طی انجماد می‌باشد در حالی که منحنی سرد شدن اصلی فقط نشان دهنده دو استحاله فازی برای این آلیاژها بود. پیک اول مربوط به تشکیل فاز Al_α و پیک دوم که قبل از استحاله یوتکتیکی رخ داده است مربوط به تشکیل یک سری ترکیبات

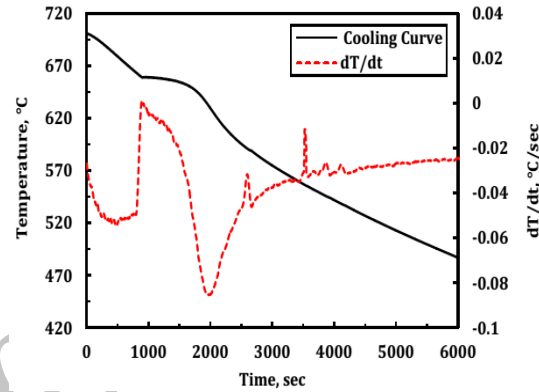
با مقایسه شکل های (۶) و (۷) می توان مشاهده کرد که با توجه به تغییر سرعت سرد شدن از $0/04^{\circ}\text{C/sec}$ به $0/42^{\circ}\text{C/sec}$ ، انحراف دوم در منحنی سرد شدن ایجاد شده است که در سرعت سرد شدن در منحنی $0/04^{\circ}\text{C/sec}$ فقط یک انحراف در منحنی سرد شدن مشاهده گردید. مهم ترین دلیل این تفاوت مربوط به افزایش مقدار یوتکتیک غیر تعادلی می باشد. میزان یوتکتیک غیر تعادلی تشکیل شده در آلیازهای مورد بررسی در این پژوهش، وابسته به دو عامل سرعت سرد شدن و میزان مس در ترکیب اولیه آلیاز می باشد که نتایج بررسی های قبلی نشان می دهد میزان یوتکتیک غیر تعادلی با افزایش سرعت سرد شدن و افزایش مقدار مس افزایش می یابد و تغییرات مقدار یوتکتیک غیر تعادلی به تغییرات ترکیب (میزان مس) وابستگی بیشتری دارد [۱۷]. جدول (۲) نتایج کمی سازی مقدار یوتکتیک غیر تعادلی را نشان می دهد.

جدول (۲): نتایج کمی سازی یوتکتیک غیر تعادلی.

یوتکتیک غیر تعادلی (wt.%)	سرعت سرد شدن $^{\circ}\text{C/sec}$	نام آلیاز (wt.% Cu)
۲/۳	۰/۰۴	۲/۲
۲/۹	۰/۴۲	
۴/۲	۰/۰۴	۳/۷
۴/۶	۰/۴۲	
۵/۱	۰/۰۴	۴/۸
۵/۷	۰/۴۲	

در سرعت سرد شدن $0/04^{\circ}\text{C/sec}$ به علت آهسته بودن سرعت سرد شدن، مقدار یوتکتیک غیر تعادلی تشکیل شده در ساختار نهایی بسیار کم خواهد بود و لذا مقدار گرمای نهان آزاد شده بسیار پایین می باشد به طوری که باعث تغییر قابل تشخیصی در منحنی سرد شدن اصلی نمی شود به همین خاطر انحراف دوم در منحنی سرد شدن مشاهده نگردید. اما با افزایش سرعت سرد شدن به $0/42^{\circ}\text{C/sec}$ ، مقدار یوتکتیک غیر تعادلی نیز افزایش می یابد که باعث افزایش گرمای نهان انجامد می شود که شدت

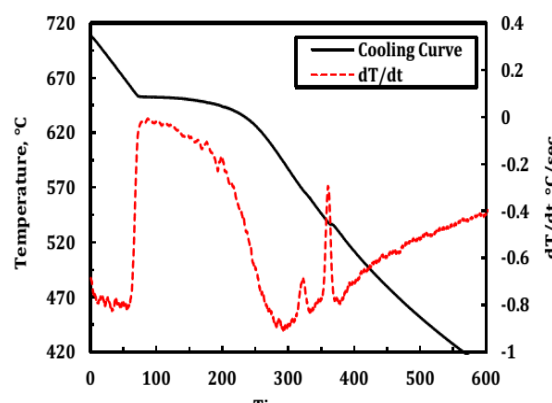
در طی انجام این آلیاز مانند دو آلیاز دیگر استحاله یوتکتیک غیر تعادلی رخ داده است در حالی که این استحاله در منحنی سرد شدن اصلی مشاهده نگردید. اگرچه سرعت سرد شدن برای هر سه آلیاز یکسان است اما مهم ترین دلیل برای این موضوع می تواند مربوط به غلظت پایین تر مس نسبت به دو آلیاز دیگر و در نتیجه آن آزاد سازی کمتر گرمای نهان در مقایسه با دو آلیاز دیگر باشد.



شکل (۶): منحنی سرد شدن به همراه منحنی مشتق اول آلیاز ۲/۲ wt.% در $0/04^{\circ}\text{C/sec}$ سرعت سرد شدن

۲-۳ اثر گرمای نهان بر شکل منحنی های سرد شدن و مشتق آن

شکل (۷) منحنی سرد شدن به همراه منحنی مشتق اول آلیاز ۲/۲ wt.% در سرعت سرد شدن $0/42^{\circ}\text{C/sec}$ را نشان می دهد.



شکل (۷): منحنی سرد شدن به همراه منحنی مشتق اول آلیاز ۲/۲ wt.% در $0/42^{\circ}\text{C/sec}$ سرعت سرد شدن

تعادلی است که با آزاد شدن گرمای نهان همراه است که گرمای نهان آزاد شده باعث بالا رفتن دمای نمونه و کاهش سرعت سرد شدن می شود. در ادامه سرعت سرد شدن به کمترین مقدار خود می رسد (نقطه b). با پایان یافتن استحاله سرعت سرد شدن مجدد افزایش می یابد تا اینکه در نهایت انجام آلیاژ به پایان می رسد (نقطه c).

۴- نتیجه گیری

در این پژوهش اثر سرعت سرد شدن و ترکیب شیمیایی بر تشکیل یوتکنیک غیر تعادلی در طی انجام آلیاژهای دو تایی آلمینیوم- مس به کمک آنالیز حرارتی منحنی های سرد شدن بررسی گردید و خلاصه ای از نتایج مهم آن به صورت زیر می باشد:

۱- گرمای نهان آزاد شده در طی استحاله یوتکنیک غیر تعادلی به دو عامل ترکیب شیمیایی و سرعت سرد شدن وابسته است که تغیرات مقدار گرمای نهان ناشی از استحاله یوتکنیک باعث ایجاد انحراف دوم در منحنی سرد شدن می شود.

۲- در سرعت های سرد شدن بسیار پایین برای آلیاژ ۲/۲ wt.% یوتکنیک غیر تعادلی در ساختار نهایی تشکیل می شود اما مقدار گرمای نهان آزاد شده ناشی از تشکیل آن به قدری کمی است که تشخیص آن از منحنی سرد شدن کاری دشوار است و نیاز به رسم منحنی مشتق- زمان می باشد.

۳- با افزایش سرعت سرد شدن از $0/04^{\circ}\text{C/sec}$ به $0/42^{\circ}\text{C/sec}$ و افزایش مقدار مس از $2/2$ به $4/8$ مقدار یوتکنیک غیر تعادلی از $2/3$ به $5/7$ افزایش یافت که با افزایش گرمای نهان همراه است.

۴- با مقایسه شدت پیک های رسم شده در منحنی مشتق- زمان می توان از لحاظ کیفی میزان تغییرات یوتکنیک غیر تعادلی با تغییرات سرعت سرد شدن و میزان مس را بررسی کرد.

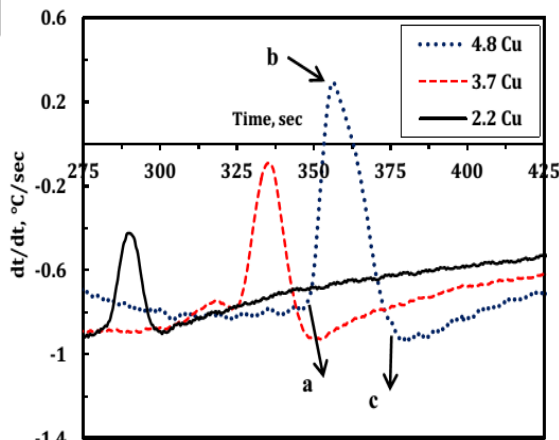
۵- مراجع

- [1] M. C. Flemings, "Solidification Processing", Mc Grow-Hill, New York, 1974.

این افزایش در حدی است که منجر به ایجاد انحراف دوم در منحنی سرد شدن می گردد.

۳-۲-۲- اثر ترکیب شیمیایی

با مقایسه مجدد منحنی های شکل (۱) می توان فهمید که چرا در یک سرعت سرد شدن ثابت، در منحنی سرد شدن آلیاژ $4/8$ wt.% ۲/۲ انحراف دوم دیده نشد در حالی که برای دو آلیاژ دیگر مشاهده گردید. افزایش مقدار مس از $2/2$ به $4/8$ wt.% منجر به افزایش مقدار یوتکنیک غیر تعادلی از $2/3$ به $5/7$ شد که باعث افزایش گرمای نهان انجامد می شود. به منظور بررسی دقیق تر اثر ترکیب شیمیایی بر گرمای نهان ناشی از استحاله یوتکنیک غیر تعادلی، بخشی از منحنی های مشتق اول- زمان برای هر سه آلیاژ در سرعت سرد شدن $0/42^{\circ}\text{C/sec}$ در شکل (۸) نشان داده شده است.



شکل (۸): بخشی از منحنی های مشتق اول- زمان برای آلیاژهای آلمینیوم- مس در سرعت سرد شدن $0/42^{\circ}\text{C/sec}$: a: شروع استحاله یوتکنیک، b: پایان استحاله، c: پایان انجامد

با مقایسه این منحنی ها به خوبی دیده می شود که در یک سرعت سرد شدن ثابت با افزایش میزان مس گرمای نهان نیز افزایش می یابد که این افزایش در گرمای نهان از مقایسه شدت پیک های رسم شده در منحنی های مشتق به خوبی قابل تشخیص است. در واقع نقطه شروع افزایش در مقادیر مشتق اول (با توجه به علامت) نشان دهنده شروع استحاله یوتکنیک غیر

- Baseline Equation”, AFS Trans, Vol. 66, pp. 161-167, 1999.
- [12] K. G. Upadhyay, D. M. Stefanescu, K. Lieu & D. P. Yeager, “Computer- Aided Cooling Curve Analysis: Principles and Applications in Metal Casting”, AFS Transactions, Vol. 97, pp. 61-66, 1989.
- [13] S. L. Backerud & G. K. Sigworth, “Recent Developments in Thermal Analysis of Aluminum Casting Alloys”, AFS Transactions. Vol. 97, pp. 459- 464, 1989.
- [14] Haq, J. S. Shin & Z. H. Lee, “Computer-aided cooling curve analysis of A356 aluminum alloy”, Metals and Materials International, Vol 10, No. 1, pp. 89-96, 2004.
- [15] M. Dehnavi, H. Vafaeenezhad & M. Haddad-Sabzevar, “Investigation solidification of Al-4.8 wt.%Cu alloy at different cooling rates by computer aided cooling curve analysis”. Metall. Mater. Eng, Vol. 20, No. 2, pp. 107-117, 2014.
- [16] ASM Handbook, Formerly Ninth Edition, Metals Handbook, Volume 9, Metallography and microstructures.
- [۱۷] م. دهنوی و م. حداد سیزوار، "اثر اندازه دانه بر جدایش میکروسکوپی آلیاژهای آلومینیم - مس"، پایان نامه کارشناسی ارشد، دانشگاه فردوسی مشهد، زمستان ۱۳۹۲.
- ۶- پی نوشت**
-
- [1] Computer- Aided Cooling Curve
- [2] Data Acquisition.
- [3] Back Scatter Electron
- [2] R. N. Grugel, “Materials Characterization 28”, pp. 213-219, 1992.
- [3] L. Backerud, G. Chai & J. Tamminen “Solidification Characteristics of Aluminum Alloys”, Foundry Alloys, AFS/Skanaluminium, Stockholm, Sweden, Vol. 2, 1990.
- [4] D. Eskin, Q. Du, D. Ruvalcaba & L. Katgerman, “Experimental study of structure formation in binary Al-Cu alloys at different cooling rates”, Mater. Sci. Eng, Vol. A 405, pp 1-10, 2005.
- [5] O. Fornaro & H. A. Palacio, “Study of dilute Al-Cu solidification by cooling curve analysis”, J. Mater. Sci, Vol. 44, pp. 4342- 4347, 2009.
- [6] Y. W. Riddle & M. M. Makhlouf, “Characterizing Solidification by Non-Equilibrium Thermal Analysis”, Magnesium Technology, pp 101- 106, 2003.
- [7] L. Bäckerud & B. Chalmers, “Some Aspects of Dendritic Growth in Binary Alloys: Study of the Aluminum-Copper System”, Transactions of the Metallurgical Society of AIME, Vol. 245, pp. 309-318, 1969.
- [8] J. Tamminen, “Thermal Analysis for Investigation of Solidification Mechanisms in Metals and Alloys”, Ph.D. Thesis, U. of Stockholm, Sweden, 1988.
- [9] D. Emadi, “Applications of thermal analysis in quality control of solidification processes”, Journal of Thermal Analysis and Calorimetry, Vol. 81, pp. 235- 242, 2005.
- [10] J. O. Barlow & D. M. Stefanescu, “Computer-aided cooling curve analysis revisited”, AFS Trans. 105, pp. 348- 354, 1997.
- [11] W. T. Kierkus & J. H. Sokolowski, “Recent Advances in CCA: A New Method of Determining